

Cu-Fe-Sn-S 系 鑛物의 產出狀態와 相安定關係

李 昕 成*

Occurrences and Phase Stability Relations of Minerals of the Cu-Fe-Sn-S System

Min Sung Lee*

Abstract: Stannite is mainly found in hypothermal ore deposits, whereas mawsonite and stannoidite occur characteristically with bornite and chalcopyrite in subvolcanic (xenothermal) ore deposits. Mawsonite always shows the replacement on the rims of stannoidite grains or along the grain boundaries of stannoidite, bornite and chalcopyrite.

In the Tada mine, Japan, the following mineral assemblages of the Cu-Fe-Sn-S minerals were observed. 1) bornite-stannoidite; 2) stannoidite-chalcopyrite; 3) stannite-chalcopyrite; 4) bornite-mawsonite-stannoidite; 5) bornite-stannoidite-chalcopyrite; 6) mawsonite-stannoidite-chalcopyrite; 7) stannoidite-stannite-chalcopyrite; 8) bornite-mawsonite-stannoidite-chalcopyrite

The heating and D.T.A. experimental results indicate that natural stannoidite containing 3 weight percent of zinc decomposes to bornite, stannite and chalcopyrite at above 500°C, whereas zinc-free synthetic stannoidite is stable up to 800°C. The stability temperature of zincian stannoidite depends on the zinc content. Mawsonite is stable at temperatures below 390°C and decomposed to stannoidite, bornite and chalcopyrite above it.

According to the sulfur fugacity determination by the electrum tarnish method the univariant assemblage of mawsonite, bornite, stannoidite and chalcopyrite requires a higher sulfur fugacity than that of bornite, stannoidite and chalcopyrite assemblage.

1. 序 言

Cu-Fe-Sn-S 系의 天然產 鑛物로서는 現在까지 스텐나이트(stannite), 스타노이다이트(stannoidite), 모소나이트(mawsonite) 그리고 스텐나이트(Cu_2FeSnS_4)의 Fe를 Zn 가 置換한 케스테라이트(kesterite) (Cu_2ZnSnS_4)가 알려져 있다.

스텐나이트는 페그마타이트鑛床으로부터 接觸交代鑛床 그리고 亞火山型 鑛床에 이르기까지 多樣한 產出狀態를 나타내고 있으나 특히 深熱水 鑛床의 Sn-W 石英脈中에 그 產出이 잘 알려져 있다. 스타노이다이트와 모소나이트는 亞火山型鑛床에서 主로 產出되고 있지마는 이외에 페그마타이트 鑛床, 層狀含銅硫化鐵鑛床과 接觸交代鑛床에서도 약간의 產出이 알려져 있다. 특히 스타노이다이트와 모소나이트의 世界的인 產地로서는 南美의 Bolivia 地方 日本의 近畿地方등을 들 수 있다.

이들 鑛物種은 이들이 新種鑛物로서 記載되기 이전까지는 헥사스텐나이트(Ramdohr, 1960) 또는 褐色스텐나이트로 記載되어온 것과 同種의 것이라고 생각되며 日本에서는 Yamaguchi(1939)에 의해 生野(Ikuno) 鑛山에서 처음 褐色스텐나이트로 記載되었으며 그후 Yamae (1955), Nakamura (1961, 1973), Shimizu, Kato and Matsuo (1966), Imai, Fujiki and Tskagoshi (1967), Kato(1969), Kato and Fujiki (1969) 그리고 Hirowatari and Soeda (1972) Soeda and Hirowatari (1973) 들에 의하여 記載報告 되었다.

스텐나이트의 組成은 Cu_2FeSnS_4 로 代表되지만, 合成相을 包含한 數種의 類似鑛物이 報告 되어있다 (Claringbull and Hey, 1955; Franz, 1971; Harris and Owens, 1972; Springer, 1972 등).

모소나이트는 Markham and Lawrence (1965)에 의해서 $Cu_7Fe_2SnS_{10}$ 의 組成式을 갖는 擬等軸晶系의 新種鑛物로서 그리고 스타노이다이트는 Kato (1969)에 의해서 $Cu_5Fe_2SnS_8$ 의 組成式을 갖는 斜方晶系에 屬하-

*서울大學校 師範大學 地球科學科
Dept. of Earth Science, Seoul Nat. Univ.

Table 1. Natural assemblages of Cu-Fe-Sn-S system

Mineral assemblages		Localities
1.	Chalcopyrite-stannite	Mangualde (Portugal) Obira (Japan), etc.
2.	Chalcopyrite-stannoidite	Konjo, Ashio (Japan) Mangualde (Portugal)
3.	Bornite-mawsonite	Ashio (Japan) Mt. Lyell (Australia)
4.	Chalcopyrite-stannoidite-stannite	Ikuno, Konjo, Ashio, Tada (Japan)
5.	Chalcopyrite-mawsonite-stannoidite	Fukoku (Japan) Mangualde (Portugal)
6.	Bornite-chalcopyrite-stannoidite	Akenobe, Tada, Yanahara, Tsumo (Japan) Mangualde (Portugal)
7.	Bornite-mawsonite-stannoidite	Tada (Japan) Tingha (Australia)
8.	Bornite-chalcopyrite-mawsonite-stannoidite	Tada, Akenobe (Japan)

Table 2. Observed ore minerals from the Hyotan and Gochaku vein

Vein	Level	py	cas	sp	std	mw	st	cp	bn	ga	tet	cc, dg	Ag- cc	stm	mk	Ag	cv
Hyotan vein	-120 mL			+	+	+		+	+	+	+	+	+	+		+	+
	-150 mL			+	+	+		+	+	+	+			+			+
	-180 mL			+	+	+	+	+	+	+	+			+			+
	-210 mL			+	+	+	+	+	+	+	+	+					+
	-240 mL			+	+	+	+	+	+	+	+	+					+
South	-120 mL				+	+	+	+	+	+	+	+		+			+
					+	+	+	+	+	+	+						+
Gochaku vein	-120 mL			+	+			+	+	+	+						
	-180 mL			+	+			+	+	+	+						

+++ abundant, ++ common, + rare

Abbreviation: py=pyrite, cas=cassiterite, std=stannoidite, mw=mawsonite, st=stannite, cp=chalcopyrite, bn=bornite, ga=galena, tet=tetrahedrite, cc=chalcocite, dg=digenite, Ag-cc=Ag-bearing cc, stm=stromeyerite, mk=mckinstryite, Ag=native silver, cv=covellite

는新種礦物로서 각각 記載되었다. 그러나 이를 組成에 대해서는 Boorman and Abbott (1967), Springer (1968) 그리고 Petruk (1973)들에 의해서 報告된 모소나이트($\text{Cu}_6\text{Fe}_2\text{SnS}_8$) 및 스타노이다이트($\text{Cu}_8\text{Fe}_3\text{Sn}_2\text{S}_{12}$)의組成이 옳은 것으로 認定되었다. 이와같은 研究에 의하여 스타노이다이트로 命名된 矿物은 Ramdohr(19

60)가 헥사스텐나이트라고 記載한 矿物에 해당됨이 밝혀졌다. 現在까지 알려진 Cu-Fe-Sn-S系의 天然에서 出現하는 矿物組合은 table 1과 같다.

2. Cu-Fe-Sn-S系 矿物의 產出狀態

亞火山型 矿床으로 分類되는 日本 兵庫(Hyogo)県에

存在하는 多田(Tada) 鎌山(Lee, 1978)의 Hyotan 脈과 五着(Gochaku)脈中의 鎌石鎌物의 產出狀態는 table 2 와 같다. 이 表에서 보여지는 바와 같이 下部의 카시테라이트—칼코파이라이트帶에서는 칼코파이라이트—스타노이다이트—모소나이트가, 上부의 보오나이트帶에서는 보오나이트—모소나이트—스타노이다이트 또는 보오나이트—칼코파이라이트—모소나이트—스타노이다이트의 組合이一般的이다.

2-1. 스텐나이트, $\text{Cu}_2\text{FeSnS}_3$

스텐나이트는 Hyotan 脈中에서는 드물게 產出되며 칼코파이라이트의 離溶體를 含有하는 경우가 많으며 主로 칼코파이라이트 또는 스타노이다이트中에 存在하지만 方鉛石등을 隨伴할 때도 있다(Plate 1). 칼코파이라이트의 離溶體를 갖는 스텐나이트가 스타노이다이트中에 둘러싸여 있는 경우는 둘러싸고 있는 스타노이다이트中에는 칼코파이라이트의 離溶體가 存在하지 않는다(Plate 2).

2-2. 스타노이다이트, $\text{Cu}_8(\text{Fe}, \text{Zn})_3\text{Sn}_2\text{S}_{12}$

스타노이다이트는 Hyotan 脈中에 比較的 多量 存在한다. 스타노이다이트는一般的으로 모소나이트를 隨伴하여 보오나이트 또는 칼코파이라이트 中에 存在하는 경우가 많다. 또한 보오나이트中에 等粒狀 組織을 보이며 產出되는 경우가 많으며 모소나이트를 隨伴하는 경우는 항상 모소나이트에 의하여 스타노이다이트 粒子의 周邊 또는 그一部가 交代된 것 같은 組織을 보인다(Plate 3, 4). 때로는 既存의 카시테라이트나 閃亞鉛石粒子의 周邊部 또는 그一部를 交代한 것과 같은 特徵的 組織을 보이며, 한편 보오나이트 또는 後期의 硫化鎌物에 의하여 스타노이다이트 粒子가 細脈狀으로 賧긴 경우가 觀察된다(Plate 5, 6). 스타노이다이트는 이외에 方鉛石 및 tetrahedrite를 隨伴하는 경우가 때때로 있다. Gochaku 脈에서 產出되는 스타노이다이트中에는 黃銅石의 離溶體를 갖는 것이 观察된다. 이러한 경우는 黃銅石의 離溶體를 갖는 스타노이다이트가 모소나이트에 의해서 둘러싸여 있고 모소나이트中에는 黃銅石의 離溶體는 보여지지 않는다(Plate 7).

2-3. 모소나이트, $\text{Cu}_6\text{Fe}_2\text{Sn}_8\text{S}_8$

모소나이트는 그 存在量이 스타노이다이트에 比하여 적으며 항상 스타노이다이트, 보오나이트 및 黃銅石등과 隨伴되어 產出된다. 따라서 모소나이트가 單獨粒子로서 存在하는 경우는 매우 드물며 多田鎌山에서는 지금까지 이와 같은 單獨粒子의 存在는 알려지지 않고 있다. 모소나이트는 항상 스타노이다이트 粒子의 周邊 또는 스타노이다이트, 보오나이트 및 黃銅石이 共存하는 粒子의 境界에 연해서 또는 이들의 一部를

交代하여 生成된 것과 같은 組織을 보이고 때때로 雙晶組織을 보인다(Plate 3, 4, 8).

모소나이트의 產狀과 組織에 있어서는 다음과 같은 特徵들을 들 수가 있다.

- (1) 모소나이트의 單獨粒子의 存在는 매우 드물다.
- (2) 모소나이트는 항상 스타노이다이트, 보오나이트 및 黃銅石에 隨伴되어 產出되고 스타노이다이트의 周邊部 또는 이들의 一部를 交代한 것과 같은 組織을 나타낸다.
- (3) 모소나이트는 그 產狀과 組織으로 부터 判斷할 때 스타노이다이트 보오나이트 및 黃銅石의 反應에 의해 生成했을 可能性이 생각된다.

3. Cu-Fe-Sn-S 系 鎌物의 組成

天然產 스텐나이트 및 스타노이다이트는 通常 Zn를 含有하지만 모소나이트는 含有하지 않는다. 스텐나이트, 스타노이다이트 및 모소나이트는 이들의 組成이 直線上에 놓이므로 table 3에 보여지는 바와 같이 스텐나이트로 부터 모소나이트로 감에 따라 金屬: 硫黃 및 Cu: Sn의 比가 함께 커지는 組成變化가 보여진다 (Table 3).

多田鎌山의 Hyotan 脈中에서 產出되는 스타노이다이트와 모소나이트의 產狀別의 EPMA (Electron Probe Micro Analyser)에 의한 分析值의 組成을 table 4에 表示하였다.

多田鎌山 Hyotan 脈과 Gochaku 脈中에서 觀察된 Cu-Fe-Sn-S 系 鎌物의 鎌物組合은 다음과 같다.

(1) 三變系組合 (trivariant assemblage)

- i. 보오나이트—스타노이다이트
- ii. 스타노이다이트—칼코파이라이트
- iii. 스텐나이트—칼코파이라이트

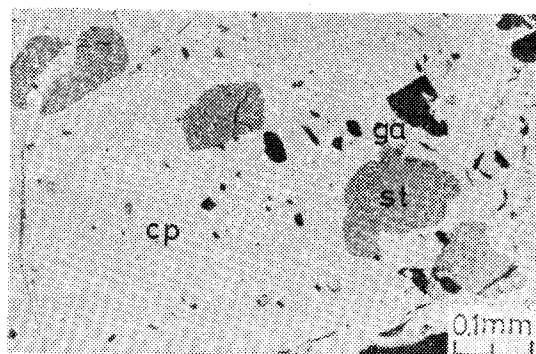


plate 1

cp: chalcopyrite, st: stannite, ga: galena

cp 中에 cp의 離溶物을 含有하는 st가 粒子狀으로 存在한다.

-nicol

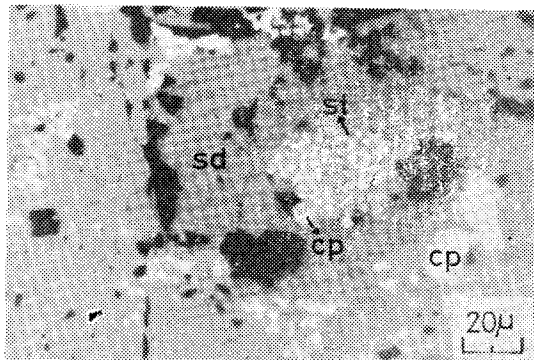


plate 2 -nicol
st: stannite sd: stannoidite cp: chalcopyrite
sd 中에 cp 의 離溶物을 含有하는 st 的 粒子가 存在한다.

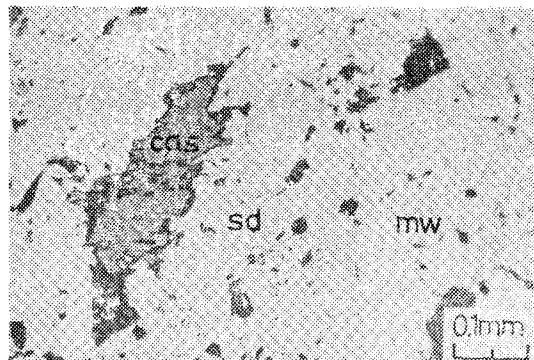


plate 5 -nicol
cas: cassiterite sd: stannoidite mw: mawsonite
cas를 sd 가 交代하고있으며 sd 의 外緣帶에 mw가 存在한다

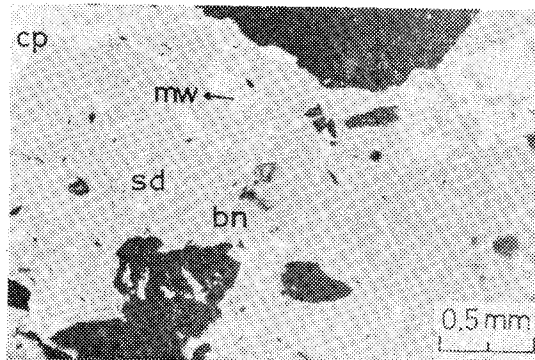


plate 3 -nicol
sd: stannoidite, mw: mawsonite,
bn: bornite, cp: chalcopyrite.
bn, mw, sd, cp 의 univariant 組合
bn 中에 sd 가 equigranular texture 를 나타내며 存在하고
mw 는 sd 의 周邊部 또는 그 一部를 交代한 組織을 보인다.

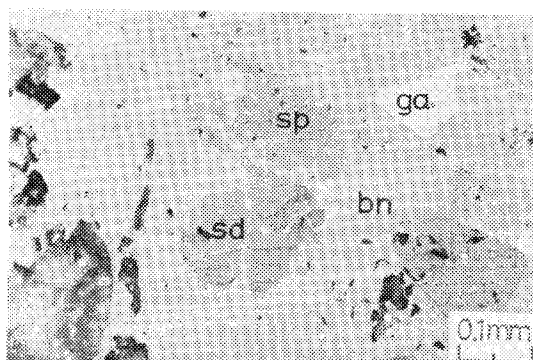


plate 6 -nicol
sp: sphalerite, sd: stannoidite,
ga: galena, bn: bornite
sp 의 一部를 sd 가 交代하고 있으며 sd 는 bn에 의해서 끊
겨있다.

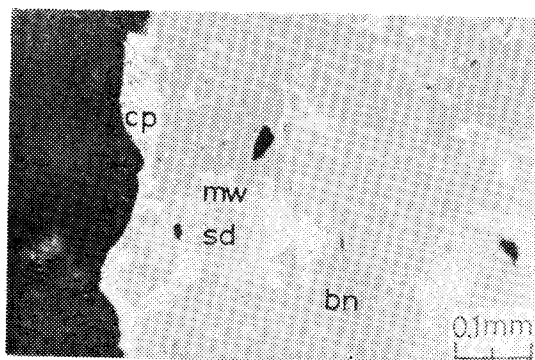


plate 4 -nicol
sd: stannoidite, mw: mawsonite,
bn: bornite, cp: chalcopyrite
bn, mw, sd, cp 의 univariant 組合.
mw 가 sd 粒子의 周邊 또는 그 一部를 交代한 組織을 보인
다.

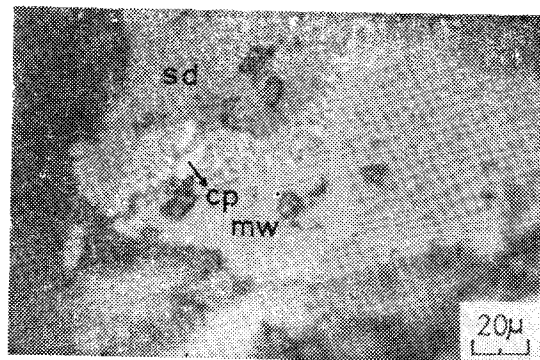


plate 7 -nicol
sd: stannoidite, mw: mawsonite, cp: chalcopyrite
sd 의 外緣帶에 cp 의 離溶物이 存在하지만 mw 中에는 存
在하지 않는다.

Table 3. Chemical composition of Cu-Fe-Sn-S minerals

Mineral names	Crystal systems	Chemical formula	Cu/Sn	Metal/Sulfur
Chalcopyrite	tetragonal	CuFeS_2		1
Stannite	tetragonal	$\text{Cu}_2\text{FeSnS}_4$	2/1	1
Stannoidite	orthorhombic	$\text{Cu}_8\text{Fe}_3\text{Sn}_2\text{S}_{12}$	4/1	13/12
Mawsonite	pseudocubic	$\text{Cu}_6\text{Fe}_2\text{SnS}_8$	6/1	9/8
bornite	tetragonal	Cu_5FeS_4		6/4

Table 4. EPMA data of stannoidite and mawsonite of the Hyotan vein

Sample No.	Cu	Fe	Zn	Sn	S	Total	Occurrence
1 TI20L-N20-2-1 std	39.21	8.71	4.73	18.05	29.31	100.01	stannoidite without mawsonite replaced sphalerite
2 TI20L-N20-2-2 std	39.01	8.78	4.51	19.84	29.86	100.00	stannoidite without mawsonite replaced sphalerite
3 TI20L N20-2-3 mw	44.67	12.47	0.05	13.48	29.34	100.01	mawsonite with stannoidite replaced sphalerite
4 THyotan std	38.50	8.82	4.63	17.89	30.17	100.01	stannoidite without mawsonite
5 72061606-1 std	39.07	9.26	3.88	18.14	29.65	100.00	stannoidite with mawsonite
6 72061606-2 mw	43.20	12.75	0.01	13.58	30.46	100.00	mawsonite in stannoidite

Atomic ratios to a total 25 atoms in stannoidite and 17 in mawsonite

	Cu	Fe	Zn	Sn	S	Metal/Sulfur	
1	8.07	2.04	0.94	1.99	11.95	13.0/12.0	*Take off Angle: 52.5°
2	8.29	2.12	0.93	2.02	12.06	13.4/12.6	Specimen Current: 0.02/ μA
3	6.11	1.94		0.99	7.96	9.0/8.0	on Al_2O_3
4	7.86	2.05	0.92	1.96	12.21	12.8/12.2	Accelerating Voltage: 15 kV
5	8.02	2.16	0.77	1.99	12.06	13.0/12.1	
6	5.86	1.97		0.98	8.19	8.8/8.2	

(2) 二變系組合(bivariant assemblage)

- iv. 보오나이트—모소나이트—스타노이다이트
- v. 보오나이트—스타노이다이트—칼코파이라이트
- vi. 모소나이트—스타노이다이트—칼코파이라이트
- vii. 스타노이다이트—스텐나이트—칼코파이라이트
- (3) 一變系組合(univariant assemblage)
- viii. 보오나이트—모소나이트—스타노이다이트—칼코파이라이트

天然에 있어서는 Cu-Fe-Sn-S 系 鎌物과 Fe-S 系 鎌物 즉 파이라이트 또는 퍼로타이트 등과의 共生關係는 Tasmania 의 Mt. Lyell (Markham and Lawrence, 1965) 의 예를 除外하고는 그 報告가 없다. 또한 스텐나이트와 보오나이트의 共生關係도 알려져 있지 않다. 이에 대해서는 後述하는 Cu-Fe-Sn-S 系 鎌物의 相安定關係에서 考察하기로 한다.

4. Cu-Fe-Sn-S 系 鎌物의 相安定關係

Cu-Fe-Sn-S 系의 相安定關係에 關한 實驗研究는 Lee et al, (1975)에 의해서 이루어져 있다. 이 研究結果에 의하면 모소나이트는 $390^\circ\text{C} (\pm 10^\circ\text{C})$ 以下에서 安定하며 300°C 에서의 合成實驗 結果의 相關係는 亞火山型 鎌床에서 보여지는 天然의 鎌物組合과 매우 類似하다.

이 溫度條件下에 있어서의 重要한 鎌物組合은

- i. 보오나이트—모소나이트—스타노이다이트
- ii. 모소나이트—스타노이다이트—칼코파이라이트
- iii. 스타노이다이트—스텐나이트—칼코파이라이트
- iv. 보오나이트—모소나이트—스타노이다이트—칼코파이라이트이며 iv의 보오나이트—모소나이트—스타노이다이트—칼코파이라이트는 一變系組合이 된다.

加熱實驗 및 示差熱分析(DTA)에 의하면 天然產 스타노이다이트(Zn 3%)는 500°C 以上에서 보오나이트+

Table 5. EPMA data of heating products of natural stannoidite and mawsonite at 700°C

samples	decomposed					analyzed composition (wt.%)
	products	Cu	Fe	Sn	S	
natural stannoidite	phase-1	31.83	9.16	25.64	33.37	100.00
	phase-2	56.84	13.81	0.51	28.84	100.00
natural mawsonite	phase-1	39.34	12.33	15.09	33.23	99.99
	phase-2	55.93	12.67	0.69	30.75	100.00

Take off Angle: 52.5°; Specimen Current: 0.02μA on Al₂O₃; Accelerating Voltage: 15kV

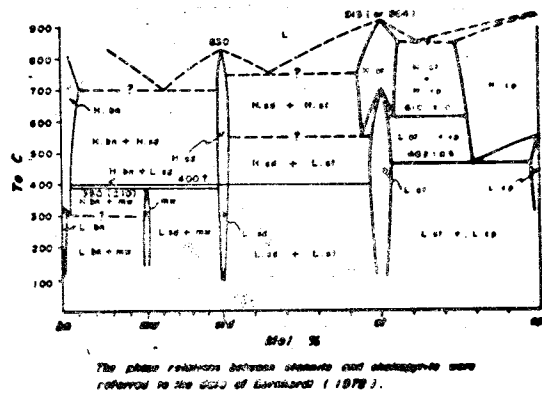
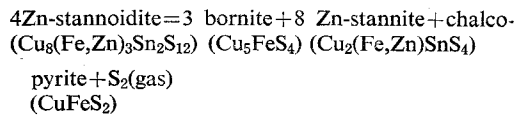


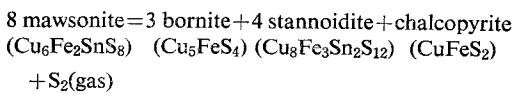
Fig. 1 Phase relation along the bornite-mawaonite-stannoidite-stannite-chalcopyrite. The phase relations between stannite and chalcopyrite were referred to the data of Bernhardt (1972).

스텐나이트+칼코파이라이트로 分解된다는 것이 確認되었고 Zn를 含有하지 않는 純粹한 合成相은 830°C까지 安定하다는 것이 確認되었다(Fig. 1).

이러한 相安定關係로 부터 天然產 스타노이다이트의 分解反應은 다음의 化學式으로 表現된다.



위의 分解反應은 Zn의 存在量이 增加함에 따라 그 溫度가 낮아지는 傾向이 認定된다. 한편 天然產 모소나이트는 390°C(±10°C)以上에서는 보오나이트+스타노이다이트+칼코파이라이트로 分解되는 것이 確認되었고 그 反應은 다음과 같이 表現된다.



위의 分解產物에 대한 EPMA에 의한 定量分析 結果는 Table 4에 실려있다.

合成實驗結果에서는 500°C 以上的 乾式合成法에 의하면 Cu₆Fe₂SnS₈組成의 出發物質로 부터는 모소나이

트相은 合成되지 않으며 보오나이트+스타노이다이트+칼코파이라이트의 3相의 組合이 出現한다. 熱水 및 풀럭스(flux)法에 의한 合成實驗結果 200~380°C에서 모소나이트相이 合成되었지만 항상 보오나이트, 스타노이다이트 및 칼코파이라이트가 共存한다. 이들 合成相의 共存關係와 組織은 天然產의 그것과 매우 類似하다. 모소나이트의 分解反應關係는 天然의 產狀과 組織 및 實驗結果로 부터 判斷할 때 이미 晶出된 보오나이트 스타노이다이트 및 칼코파이라이트의 組合이나 이와 같은 組成의 鎌化溶液으로 부터 硫黃의 供給에 의해서 모소나이트가 生成될 수 있음을 示唆한다.

Cu-Fe-Sn-S系의 相關係에 있어서 天然에 있어서나 合成實驗에 있어서나 스타노이다이트와 모소나이트는 항상 보오나이트와 칼코파이라이트와 密接하게 共存하고 있음이 알려져 있다. 한편 스텐나이트는 칼코파이라이트와는 隨伴되지만 보오나이트 또는 모소나이트와의 組合은 報告되어 있지 않다.

天然에서는 Cu-Fe-Sn-S系의 一變系 4相組合은 보오나이트-모소나이트-스타노이다이트-칼코파이라이트 단이 알려져 있지만 Fig. 2의 相關係圖에서 보여지는 바와 같이 이 組合의에

보오나이트-스타노이다이트-스텐나이트-칼코파이라이트

보오나이트-스타노이다이트-스텐나이트-칼코사이트 (digenite)

스타노이다이트-스텐나이트-칼코파라라이트-파이라이트

모소나이트-스타노이다이트-칼코파이라이트-파이라이트(또는 피로타이트)

보오나이트-모소나이트-스타노이다이트-파이라이트(또는 피로타이트)

가 安定相으로 出現될 수 있다고 생각할 수 있다. 그러나 다음 4相組合의 安定相으로서의 出現은 생각할 수 없다.

보오나이트-스텐나이트-칼코파이라이트-파이라이-

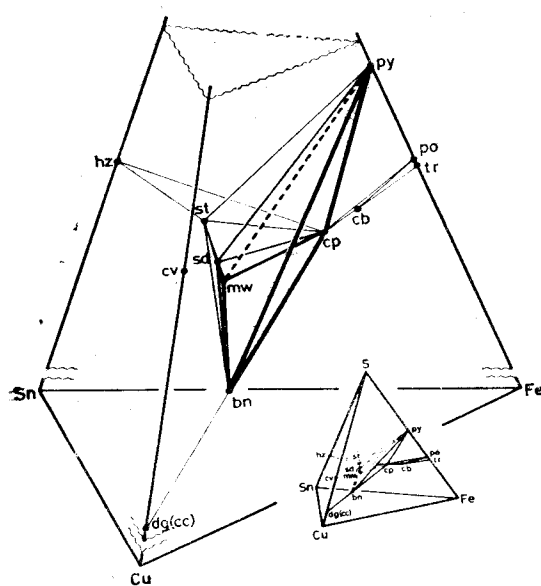


Fig. 2 Phase diagram of the Cu-Fe-Sn-S system at 300°C

트

보오나이트—스타노이다이트—칼코파이라이트—파이라이트(모소나이트의 生成溫度 以下의 경우)

그理由는 칼코파이라이트—스타노이다이트의 共結線(tie line)은 보오나이트—스텐나이트—파이라이트의 三角面을 뚫으며 또한 칼코파이라이트—모소나이트의 共結線은 보오나이트—스타노이다이트—파이라이트의 三角面을 뚫게 되므로 칼코파이라이트—스타노이다이트 및 칼코파이라이트—모소나이트의 組合이 安定한 以上 上記 두개의 4相組合은 存在할 수 없게 된다. 그리고 모소나이트—스텐나이트의 組合은 이들의 組成의 直線上의 中間에 스타노이다이트가 安定相으로서 出現 하므로 非共生組合(incompatible assemblage)으로 된다. 한편 보오나이트—스텐나이트 또는 보오나이트—스타노이다이트—피로타이트 및 보오나이트—모소나이트—피로타이트 등의 組合은 Cu-Fe-Sn-S系의 相關係圖로부터 생각할 때 낮은 硫黃의 蒸氣壓下에서 生成될 것으로 推定된다.

硫化鎌物의 物理的 生成條件를 推定하는데 硫黃의 fugacity(f_{S_2})를 구하는 것은 매우 重要하다. 多田鎌山 Hyotan 脈에서 觀察되고 또한 300°C의 熱水合成 및 풀렉스法 合成實驗에 있어서 얻어진 모소나이트—보오나이트—스타노이다이트—칼코파이라이트의 一變系組合의 f_{S_2} 를 electrum tarnish 法 (Barton and Toulmin, 1964)을 使用하여 구하였다. 그結果 Fig. 3에서 보여지는 바와 같이 모소나이트+보오나이트+스타노이

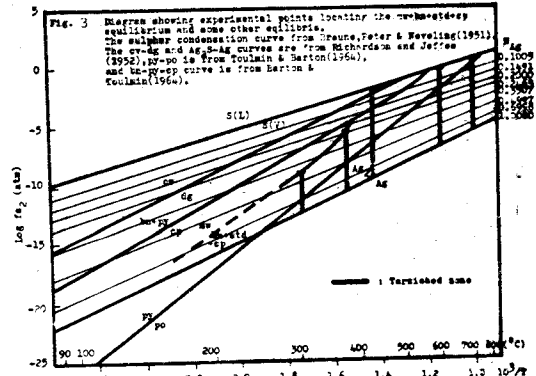


Fig. 3 Diagram showing experimental points locating the $mw+bn+std+cp$ equilibrium and some other equilibria. The sulphur condensation curve from Braune, Peter & Neveling (1951). The cv-dg and Ag_2S-Ag curves are from Richardson and Jeffes (1952). The py-po curve is from Toulmin & Barton (1964), and the bn-py-cp curve is from Barton & Toulmin (1964).

이트+칼코파이라이트의 一變系組合이 平衡下에서 共存할 때의 溫度· f_{S_2} 의 關係는 보오나이트+파이라이트+칼코파이라이트와 파이라이트+피로타이트의 두개의 一變系曲線의 中間領域에 位置하고 보오나이트+모소나이트+스타노이다이트+칼코파이라이트의 一變系曲線의 傾斜은 兩者的 그들과 거의 平行한 關係를 나타낸다. 이러한 事實은 天然에 있어서의 共生關係를 잘 說明해 주고 있다.

그리고 Fig. 2의 相關係圖에서 보여지는 것과 같이 모소나이트는 보오나이트—스타노이다이트—칼코파이라이트의 三角面上에 떠 있으므로 앞의 3相共存面보다 약간 높은 sulfur portion에 位置하고 있다. 또한 Fig. 3의 $f_{S_2} \cdot 1/T$ diagram에서 보여지는 것과 같이 모소나이트의 安定領域은 보오나이트+스타노이다이트+칼코파이라이트 組合보다 높은 f_{S_2} 條件下에서 安定하다는 것을 나타내고 있다.

5. 結論

Cu-Fe-Sn-S의 天然產鎌物로서는 現在까지 스텐나이트 ($Cu_2(Fe, Zn)SnS_4$), 스타노이다이트 ($Cu_8(Fe, Zn)_3Sn_2S_{12}$), 모소나이트 ($Cu_6Fe_2SnS_8$)가 알려져 있다.

스텐나이트는 페그마타이트鎌床으로부터 亞火山鎌床에 이르기까지 比較的 多樣한 產出狀態를 나타내나 특히 深熱水鎌床의 Sn-W石英脈中에 그 產出이 잘 알려져 있다. 그리고 스타노이다이트와 모소나이트도 여려型의 鎌床으로부터 產出이 알려져 있으나 主로 亞火山型鎌床에서 多量 產出된다.

亞火山型礦床으로 分類되는 日本 兵庫縣 多田礦山에 있어서 스텐나이트는 그 存在量은 적지마는 主로 칼코파이라이트 또는 스타노이다이트와 共存한다. 스타노이다이트와 모소나이트는 보오나이트 및 칼코파이라이트와 密接히 隨伴되고 특히 모소나이트는 반드시 보오나이트, 스타노이다이트 및 칼코파이라이트와 隨伴되며 스타노이다이트의 一部 또는 이를 鎌物들의 接觸境界部에 沿해서 交代한 것과 같은 組織을 보이면서 產出되며 單獨 粒子로서는 存在하지 않는다.

天然產 스타노이다이트는 通常 數%의 Zn 를 含有하지마는 모소나이트中에는 Zn 의 存在가 確認되지 않는다.

加熱實驗 및 DTA 結果에 의하면 天然產 스타노이다이트(Zn 3% 含有)는 500°C 以上에서 보오나이트+스타노이다이트+칼코파이라이트로 分解하지마는 Zn 를 含有하지 않는 純粹한 合成相은 830°C 까지 安定하다. 따라서 이 分解溫度는 Zn 的 存在量이 增加하면 낮아질것이 推定된다. 한편 모소나이트는 390°C 以上에서는 보오나이트+스타노이다이트+칼코파이라이트로 分解되므로 390°C 以下에서 단이 安定하다.

合成實驗 結果에 의하면 390°C 以下에서 모소나이트가 새로운 安定相으로서 存在하며 亞火山型礦床에서

보여지는 天然의 鎌物組合과 類似한 組合이 出現한다. 300°C 에 있어서의 重要한 組合은 보오나이트-모소나이트-스타노이다이트, 모소나이트-스타노이다이트-칼코파이라이트, 스타노이다이트-스텐나이트-칼코파이라이트와 一變系組合인 보오나이트-모소나이트-스타노이다이트-칼코파이라이트이다.

合成實驗 및 多田礦山에서 얻어진 보오나이트+모소나이트+스타노이다이트+칼코파이라이트의 一變系組合에 대한 溫度 · fs_2 的 關係를 實驗的으로 구하였다. 그 結果에 의하면 모소나이트+보오나이트+스타노이다이트+칼코파이라이트의 一變系曲線은 보오나이트+파이라이트+칼코파이라이트와 파이라이트+피로타이트의 두개의 一變系曲線의 中間領域에 位置하고 그 傾斜가 兩者와 거의 平行하여 天然의 產狀을 잘 說明하고 있다. 특히 모소나이트는 보오나이트+스타노이다이트+칼코파이라이트의 3相 總合보다 약간 높은 fs_2 條件下에서 安定하다는 것을 나타내고 있다.

모소나이트는 天然의 產狀과 組織 및 實驗結果로 부터 判斷할때 既晶出된 보오나이트, 스타노이다이트, 칼코파이라이트의 組合(또는 同一組成의 鎌化溶液)으로부터 fs_2 가多少 增大한 條件下에서 이들의 反應에 의해서 生成된 것으로 생각된다.

References

- Boorman, R. S. and D. Abbott, 1967. Indium in co-existing minerals from the Mount Pleasant Tin deposit. Can. Mineralogist, 9, pp. 166-179.
- Claringbull, G. F. and M. H. Hey, 1955. Stannite and isostannite. Miner. Soc. London, Notice 91, (2)
- Franz, E. D., 1971. Kubischer zinnkies und tetragonalen zinnkies mit Kuper-Kiesstruktur. N. Jb. Miner. Monat. 5., pp. 218-223.
- Harris, D. C. and D. R. Owens, 1972. A stannite-kesterite exsolution from British Columbia. Can. Mineralogist, v. 11, pp. 531-534
- Hirowatari, F. and A. Soeda, 1972. Investigation of Stannoiditite and mawsonite by EPMA(Abstract). (in Japanese). Mining Geol., v. 22, 79,
- Imai, H., Y. Fujiki and S. Tukagoshi, 1967. The Metallogenetic Province of the Western Kinki District (abstract). Mining Geol., v. 17, 50, (in Japanese).
- Kato, A., 1969. Stannoidite, $Cu_5(Fe, Zn)_2SnS_8$ a new stannite-like mineral from the Konjo mine, Oka-yama Prefecture, Japan. Bull. Nat. Sci. Museum, v. 12, pp. 165-172.
- Kato, A. and Y. Fujiki, 1969. The Occurrence of stannoidite from the xenothermal ore deposits of the Akenobe, Ikuno and Tada mines, Hyogo Prefecture, and the Fukoku mine, Kyoto Prefecture, v. 5, pp. 417-433.
- Lee, M. S. 1978. Studies on the Cu-Ag-S Minerals from Tada Mine, Japan. J. Geol. Soc. Korea, v. 14, pp. 5-16.
- Lee, M. S., S. Takenouchi and H. Imai, 1974. Occurrence and paragenesis of the Cu-Fe-Sn-S minerals with reference to stannite, stannoidite and mawsonite. (in Japanese). J. Mineral. Soc. Japan, 2, Special No. 2, pp. 155-164.
- Lee, M. S., S. Takenouchi and H. Imai, 1975. Syntheses of stannoidite and mawsonite and Their Genesis in Ore Deposits. Econ. Geol., v. 70, pp. 834-843.
- Markham, N. L. and L. J. Lawrence, 1965. Mawsonite, a new copper-iron-tin sulfide from Mt. Ly-

- ell, Tasmania and Tingka, New South Wales.
Amer. Mineralogist, v. 50, pp. 900-908.
- Nakamura, T., 1961. Mineralization and Wall-rock alteration at the Ashio copper mine, Japan. J. Inst. Polytech, Osada City Univ., Ser. G, 5, pp. 53-127.
- Nakamura, T. and N. Aikawa, 1973. Stannoidite-canfieldite as related to vein mineralization at the Ashio copper mine, Japan. J. Geosci., Osaka Univ., 16, Art 1, pp. 1-10.
- Petrus, W. 1973. Tin sulfides from the deposit of Brunswick Tin Mines Limited. Can. Mineralogist, v. 12, pp. 46-54.
- Ramdohr, P. 1960. Die Erzmineralian und ihr Verwachsungen. Akademie-Verlag, Berlin.
- Shimizu, T., A. Kato and G. Matsuo, 1966. Minerals from the Fukoku mine, Kyoto Prefecture, with a special reference to cosalite, boulangerite, hexastannite and some secondary arsenic minerals. Chikagu Kenkyu (Earth Sci. Stud.) Matsutomi Vol., pp. 201-209 (in Japanese).
- Soeda, A. and F. Hirowatari, 1973. Origin of tin in association with Metallic Deposits in Chugoku District-Stannoidite from Pyrometasomatic Deposits: Kabe mine, Hiroshima Prefecture and Tsunomine, Shimane Prefecture (abstract) (in Japanese). Mining. Geol. v., 23, pp. 63-64, (in Japanese).
- Springer, G. 1972. The Pseudobinary system $Cu_2Fe-SnS_4-Cu_2ZnSnS_4$ and its mineralogical significance. Can. Mineralogist, v. 11, pp. 535-541.
- Yamae, N. 1955. Microscopic study for ore minerals from the Ashio copper Mine, (1) Stannite and Bornite. (in Japanese). J. Jap. Assoc. Min. Petr. and Econ. Geol., v. 39, pp. 21-30.
- Yamaguchi, K. 1939. Zonal distribution of mineral deposits at the Ikuno mine, Japan (Pt. 2). J. Jap. Assoc. Min. Petr. and Econ. Geol., v. 22, pp. 25-36.